

$$\begin{aligned}\phi_k - \phi_c &= \frac{q}{2\pi} \ln \frac{\left( R_k^2 - \delta^2 \right)}{\left[ \frac{R_k^2 - \delta^2}{\delta} (R_k - \delta) \right] r_c} = \\ &= \frac{q}{2\pi} \ln \frac{R_k^2 - \delta^2}{R_k \cdot r_c} = \frac{q}{2\pi} \ln \left[ \frac{R_k}{r_c} \left( 1 + \frac{\delta^2}{R_k^2} \right) \right] \quad (40-7)\end{aligned}$$

وبالتالي يمكن تحديد الإنتاجية  $q$  :

$$q = \frac{2\pi(\phi_k - \phi_c)}{\ln \left[ \frac{R_k}{r_c} \left( 1 + \frac{\delta^2}{R_k^2} \right) \right]} \quad (41-7)$$

عندما يقع البئر A في مركز الدائرة المشكّلة من قبل كونتور التغذية ، أي  $\delta = 0$   
فيإن المعادلة (41-7) ستصبح معادلة ديوبي . إن الكمون في أية نقطة (M)  
والواقعة على مسافة  $r_2$  من البئر A وعلى مسافة  $r_1$  من البئر A' فيمكن كتابة ما يلي :

$$\begin{aligned}\phi_M &= \frac{q}{2\pi} \ln r_1 - \frac{q}{2\pi} \ln r_2 + C = \\ &= \frac{q}{2\pi} \ln \frac{r_1}{r_2} + C \quad (42-7)\end{aligned}$$

وبأخذ المعادلات (37-7) ، (38-7) ، (39-7) بعين الاعتبار يمكن كتابة ما يلي :

$$\phi_M = \phi_c + \frac{q}{2\pi} \ln \left[ \frac{r_1}{r_2} \frac{\left( R_k^2 - \delta^2 \right)}{r_c \cdot \delta} \right] \quad (43-7)$$

كذلك يمكن حساب الكمون في النقطة M من المعادلة (42-7) مع الأخذ

بعين الاعتبار المعادلين (35-7) ، (36-7) :

$$\phi_M = \phi_k - \frac{q}{2\pi} \ln \left( \frac{r_1}{r_2} \frac{\delta}{R_k} \right) \quad (44-7)$$

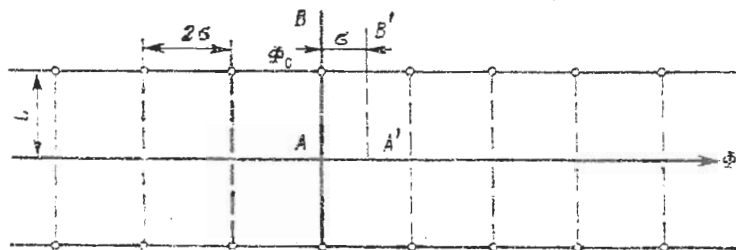
نلاحظ أن المعادلين (43-7) ، (44-7) متماثلان .

٦-٧- جريان السائل إلى سلسلة غير منتهية وصف دائري من الآبار :

من أجل دراسة مثل هذا النوع من الجريان تستخدم طريقة المقاومات الارتشاحية  
المكافحة والتي تستخدم بشكل واسع عند تحطيط واستثمار المكامن النفطية . فقد

اقترحت هذه الطريقة من قبل الباحث يو. بي . باريسوف (U.P.BARESOV) .  
ومبدأ هذه الطريقة هو تشبيه حركة السائل في الوسط المسامي بمرور التيار الكهربائي  
في الأسلاك الكهربائية .

لبحث جريان السائل إلى صف واحد من الآبار التي تبعد عن بعضها البعض  
مسافة ٢٥ ، وعن كونتور التغذية بمسافة L ، مع العلم أن الكمون عند كونتور التغذية  
في قاع البئر  $\phi$  كما في الشكل (٨-٧) . والمطلوب تحديد إنتاجية كل بئر  
والإنتاج الكلي لـ n بئر في السلسلة .



شكل ( ٨-٧ ) خطوط جريان السائل إلى سلسلة من الآبار

إن صف الآبار الإنتاجية ينعكس من خلال مرآة منتظمة على كونتور التغذية على شكل آبار حقن ونبحث تداخل صفين متتالين من الآبار ضمن طبقة ذات امتداد غير محدود .  
ستتحرك جزيئات السائل التي تمر من خلال الآبار المتوضعة على الخط المستقيم AB (على طول الجبهة الرئيسية للتيار ) ، بسرعة أكبر . والخط A'B' وأمثاله الذي يبعد عن AB بمقدار نصف المسافة بين الآبار ( ٥ ) ، يمكن أن يعتبر حدوداً كتيمة ، حيث سيكون السائل أكثر بطئاً . هذه الخطوط تسمى الخطوط المحيدة للجريان . إن طبيعة توزع الكمونات على طول هذه الخطوط المستقيمة AB ، A'B' موضحة على الشكل ( ٩-٧ ) . كذلك يمكن حل هذه المسألة باستخدام طريقة التراكب .

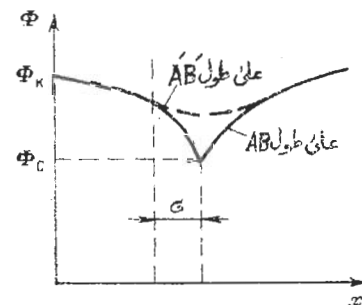
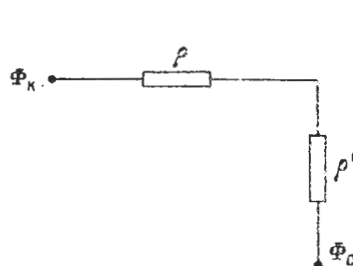
تشير النتائج إلى أنه على مسافة عن كونتور التغذية بمقدار نصف المسافة ما بين

الآبار (٥) ، تكون حركة السائل عملياً خطية متقطمة وأن انخفاض الكمون في هذا الجزء سيحدث حسب قانون الارشاح الخططي .

أما الانخفاض الأساسي في الكمون سيحدث بجانب البئر ، حيث ستصبح الحركة شعاعية عندئذ يمكن الحصول على إنتاجية كل بئر من الصف بالمعادلة التالية:

$$q = \frac{Q}{b} = \frac{2\pi(\phi_k - \phi_c)}{\ln 2sh \frac{\pi L}{\sigma} + \ln \frac{\sigma}{\pi r_c}}$$

حيث إن :  $sh \frac{\pi L}{\sigma} = \frac{1}{2} \left( e^{\frac{\pi L}{\sigma}} - e^{-\frac{\pi L}{\sigma}} \right)$



شكل (٩-٧) مخطط توزع الكمون  
على طول خط الجريان

شكل (٩-٨) مخطط توزع الكمون  
على طول خط الجريان

وعندما يكون  $\sigma > L$  فإن قيمة  $e^{\frac{\pi L}{\sigma}}$  ستكون صغيرة جداً أي أن :

$$\ln 2sh \frac{\pi L}{\sigma} \approx \ln e^{\frac{\pi L}{\sigma}} = \frac{\pi L}{\sigma}$$

أي أن :

$$q = \frac{2\pi(\phi_k - \phi_c)}{\frac{\pi L}{\sigma} + \ln \frac{\sigma}{\pi r_c}} = \frac{\phi_k - \phi_c}{\frac{L}{2\sigma} + \frac{1}{2\pi} \ln \frac{\sigma}{\pi r_c}} \quad (45-7)$$

لنفرض مايلي :

$$\frac{L}{2\sigma} = \rho \quad ; \quad \frac{1}{2\pi} \ln \frac{\sigma}{\pi r_c} = \rho'$$

ستصبح المعادلة (45-7) على الشكل التالي :

$$q = \frac{(\phi_k - \phi_c)}{(\rho + \rho')} \quad (46-7)$$

وهذه المعادلة تشبه قانون أوم .

إن قيمة  $\rho$  تسمى المقاومة الارشاحية الخارجية لمجموعة الآبار ، أما  $\rho'$  فتسماى المقاومة الارشاحية الداخلية ، وهكذا فإنه يمكن أن يعبر عن جريان السائل إلى صاف من الآبار بمقاييس ارشاحية مكافئة كما في الشكل ( ١٠-٧ ) ويعبر عن الإنتاجية الحجمية بشدة التيار . أما الفرق ما بين الكمونات الارشاحية يعبر عن الفرق ما بين الكمونات الكهربائية .

تعطى إنتاجية كافة صفوف الآبار المؤلفة من عدد  $n$  من الآبار بالمعادلة التالية:

$$\begin{aligned} Q' &= Q \cdot n = q \cdot b \cdot n = \frac{\phi_k - \phi_c}{\frac{L}{2\sigma nb} + \frac{1}{2\pi nb} \ln \frac{\sigma}{\pi r_c}} = \\ &= \frac{P_k - P_c}{\frac{\mu L}{kb2\sigma n} + \frac{\mu}{2\pi kbn} \ln \frac{\sigma}{\pi r_c}} \quad (47-7) \\ \phi &= \frac{P_k - P_c}{\mu L} \end{aligned}$$

حيث إن :

ومن المعادلة ( ٤٧-٧ ) يمكن حساب المقاومة الخارجية :

$$\rho = \frac{\mu \cdot L}{kb2\sigma n} = \frac{\mu L}{kbB} \quad (48-7)$$

وهي تعبر عن مقاومة جريان السائل من كونتور التغذية وحتى حدود المسافة  $B = 2\sigma n$  ، والتوضعة على مسافة  $L$  عن كونتور التغذية . أما المقاومة الداخلية فهي :

$$\rho' = \frac{\mu}{2\pi kbn} \ln \frac{\sigma}{\pi R_c} \quad (49-7)$$

وهي تعبر عن المقاومة التي تظهر عند اقتراب السائل إلى الآبار في المنطقة التي تبعد مقدار  $\frac{\sigma}{\pi}$  والتي عندها يصبح الجريان دائرياً شعاعياً .

ليكن لدينا طبقة ذات كونتور تغذية مستقيم تستمر بثلاثة صفوف متوازية من الآبار ، عددها في كل صاف  $n_1, n_2, n_3$  . وأقطار هذه الآبار في كل صاف  $r_{c1}, r_{c2}, r_{c3}$  .

و ذات ضغوط قاعية  $P_1$  ،  $P_2$  ،  $P_3$  و مجموع إنتاجيات كل صف  $Q'_1$  ،  $Q'_2$  ،  $Q'_3$  .

سنشرح خطط المقاومة الارشاجية المكافحة بالشكل ( ١١-٧ ) .

حيث يتم الحساب بشكل مشابه للedarات الكهربائية التفرعية حسب قانون أوم وكيرخوف ( KERKHOV ) التي تتألف من معادلات جبرية خطية ( إما للإنتاجية  $Q'_1$  ،  $Q'_2$  ،  $Q'_3$  أو للضغط القاعية  $P_1$  ،  $P_2$  ،  $P_3$  ) ، عندئذ فإن المقاومة الخارجية

سوف تعطي سوف بالمعادلات التالية :

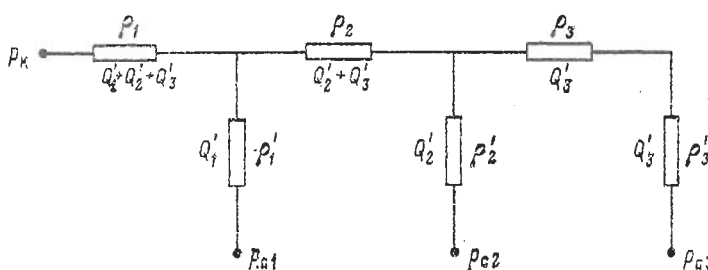
$$\rho_1 = \frac{\mu L_1}{k \cdot bB} , \quad \rho_2 = \frac{\mu L_2}{k \cdot bB} , \quad \rho_3 = \frac{\mu L_3}{k \cdot bB} \quad ( ٥٠-٧ )$$

حيث إن :  $L_1$  - بعد الصف الأول عن كونتور التغذية ،  $L_2$  - المسافة ما بين الصف الأول والثاني ،  $L_3$  - المسافة ما بين الصف الثاني والثالث .

أما المقاومة الداخلية فتحدد بالمعادلات التالية :

$$\begin{aligned} \rho'_1 &= \frac{\mu}{2\pi k b n_1} \ln \frac{\sigma_1}{\pi r_{c1}} , \quad \rho'_2 = \frac{\mu}{2\pi k b n_2} \ln \frac{\sigma_2}{\pi r_{c2}} \\ \rho'_3 &= \frac{\mu}{2\pi k b n_3} \ln \frac{\sigma_3}{\pi r_{c3}} \end{aligned} \quad ( ٥١-٧ )$$

وهنا يجب الإشارة إلى جريان السائل إلى ثلاثة صنوف دائيرية من الآبار والتي تتغذى من كونتور تغذية دائري يحسب بنفس خطط المقاومات الارشاجية المكافحة كما في الشكل ( ١١-٧ ) .



شكل ( ١١-٧ ) خطط المقاومات الارشاجية المكافحة لدى جريان السائل إلى ثالث صنوف من الآبار

يمكن أن تتحسب المقاومات الخارجية بالمعادلات التالية :

$$\rho_1 = \frac{\mu}{2\pi kb} \ln \frac{R_k}{R_1}, \quad \rho_2 = \frac{\mu}{2\pi kb} \ln \frac{R_k}{R_2}$$
$$\rho_3 = \frac{\mu}{2\pi kb} \ln \frac{R_k}{R_3} \quad ( ٥٢-٧ )$$

حيث إن :  $R_1, R_2, R_3$  - أقطار الدوائر المشكلة لصفوف الآبار .

أما المقاومة الارتشاحية الداخلية فتحسب بالمعادلة ( ٥١-٧ ) .

## الفصل الثامن

### الجريانات الارشاحية للغاز في الوسط المسامي

سندرس في هذا الفصل الجريانات الارشاحية للغازات المثالية ( $Z = 1$ ) في الوسط المسامي ، وستبع الطريقة نفسها التي استخدمت من أجل السوائل . وقبل أن نبدأ الدراسة التفصيلية سنعطي بعض المفاهيم التي تدخل فيها .

لقد تم التوصل فيما سبق إلى المعادلين التاليين :

$$\rho = \rho_{at} \cdot \frac{P}{P_{at}} \quad (1-8)$$

ومنه :

$$\frac{P}{\rho} = \frac{P_{at}}{\rho_{at}} = R \cdot T \quad (2-8)$$

حيث إن :  $R$  - ثابت الغازات العامة ،  $T$  - درجة الحرارة المطلقة والتي سنعلها ثابتة .  
وفيما يلي سنقوم بالدراسة المفصلة للجريان الأحادي المنتظم وال دائري الشعاعي المستقر وغير المستقر للغازات المثالية .

#### ١-٨ - الجريان الأحادي المنتظم المستقر للغاز حسب قانون الارشاح الخطى :

إن سرعة الارشاح الوزنية للغاز حسب قانون الارشاح الخطى ، بحيث يتجه

المخور  $x$  باتجاه حركة الغاز ، تعطى بالمعادلة التالية :

$$\rho \cdot v = - \frac{k}{\mu} \rho \frac{dP}{dx} \quad (3-8)$$

حيث إن :  $\rho$  - كثافة الغاز ،  $v$  - لزوجة الغاز والتي نعدها ثابتة .  
أما بقية الرموز فهي معروفة سابقاً .

نعرض قيمة  $\rho$  من المعادلة (١-٨) في المعادلة (٣-٨) فنحصل على :

$$\rho \cdot v = - \frac{k}{\mu} \frac{\rho_{at}}{P_{at}} \cdot P \cdot \frac{dP}{dx} \quad (4-8)$$

أما علاقة حساب الكمية الوزنية المصروفة  $Q_m$  فتعطى بالمعادلة التالية :

$$Q_m = \rho \cdot v \cdot F = Q \cdot \rho \quad (5-8)$$

حيث إن  $Q$  - الكمية الحجمية المصروفة من الغاز ،

- سطح الارتشاح العمودي من الطبقة .

وبالتعويض في المعادلة (4-8) نحصل على :

$$Q_m = -\frac{k \cdot F \cdot \rho_{at}}{\mu P_{at}} \cdot P \cdot \frac{dP}{dx} \quad (6-8)$$

يمكن كتابة هذه المعادلة كما يلي :

$$P \cdot dP = \frac{Q_m \cdot \mu \cdot P_{at}}{k \cdot F \cdot \rho_{at}} dx \quad (7-8)$$

وياجراء تكامل هذه المعادلة عند الحدود  $[P_g \leftrightarrow P] [0 \rightarrow x]$  ، نحصل على

المعادلة التالية :

$$P = \sqrt{P_g^2 + \frac{2 P_{at} Q_m}{k \cdot F \cdot \rho_{at}} x} \quad (8-8)$$

نتكامل المعادلة (7-8) عند الحدود المعروفة والثابتة  $[P_g \rightarrow P_k] [0 \rightarrow L_k]$  ،

من أجل الحصول على الكمية المصروفة عند الضغط الحراري  $Q_{at}$  :

$$Q_{at} = \frac{k \cdot F \cdot \rho_{at}}{2 \mu P_{at}} \cdot \frac{P_k^2 - P_g^2}{L_k} \quad (9-8)$$

حيث إن :  $L_k$  - كونتور التغذية عن قناة الإنتاج .

نعرض المعادلة (9-8) في المعادلة (8-8) فنحصل على قيمة الضغط في آلة

نقطة من الطبقة :

$$P = \sqrt{P_g^2 + \frac{P_k^2 - P_g^2}{L_k} x} \quad (10-8)$$

وللحصول على تدرج الضغط نقوم بتعويض المعادلة (9-8) في المعادلة (7-8)

$$\frac{dP}{dx} = \frac{P_k^2 - P_g^2}{2 L_k} \cdot \frac{1}{P} \quad (11-8)$$

حيث إن  $P$  - تحسب بالمعادلة (١٠-٨) .

يتم تحديد سرعة ارتشاح الغاز في الوسط المسامي بتعويض قيمة تدرج الضغط من المعادلة (١١-٨) في المعادلة (٣-٨) مع اختصار الكثافة من الطرفين :

$$v = \frac{k}{2\mu} \frac{P_k^2 - P_g^2}{L_k} \frac{1}{P} \quad (12-8)$$

لنعين الضغط الطيفي الوسطي ضمن الفراغات المسامية للوسط المسامي والمشغولة

بالغاز :

$$\bar{P} = \frac{1}{V_p} \int P dV_p \quad (13-8)$$

حيث إن :  $V_p = B b L_k \cdot m$  ,  $dV_p = B b m dx$

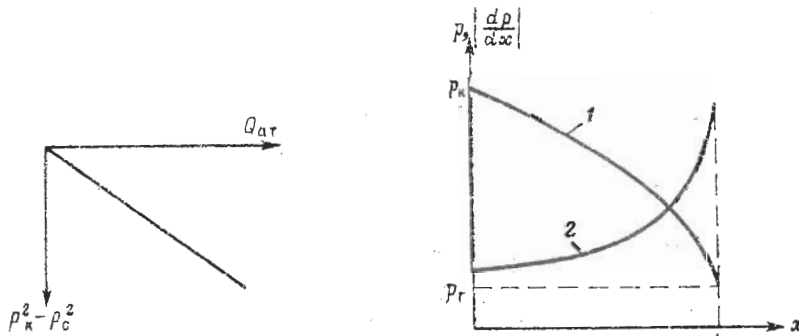
وبالتعويض في المعادلة السابقة هذه القيم وقيمة الضغط من المعادلة (١٠-٨)

نحصل على المعادلة النهائية التالية :

$$\bar{P} = \frac{2}{3} \frac{P_k^3 - P_g^3}{P_k^2 - P_g^2} \quad (14-8)$$

ولدى تحليل المعادلات التي تم التوصل إليها يمكن صياغة الاستنتاجات التالية :

١) نلاحظ من المعادلة (١٠-٨) أن الضغط يتغير حسب معادلة قطع مكافئ كما في الشكل (١-٨) المحنى (١) ، أما العلاقة  $f(x) = P^2$  فتعد علاقة خطية .



شكل (١-٨) منحنيات توزيع الضغط (١) ودرج الضغط (٢) في الجريان الأحادي المنتظم للغاز ارتشاح الغاز حسب قانون دارسي

٢) إن منحني توزع تدرج الضغط من أجل الجريان الارشاحي للغاز موضح بالشكل (١-٨) المنحني رقم (٢) ومن الواضح أن تدرج الضغط لن يكون ثابتاً كما هو الحال من أجل السائل غير القابل للانضغاط ، بل يتزايد بالاقتراب من قناة الإنتاج حسب المعادلة (١١-٨) .

٣) إن الدليل البياني عند جريان الغاز حسب قانون الارشاح الخططي الذي يمثل العلاقة  $f(Q_{a1}) = P_k^2 - P_g^2$  سيمثل علاقة خطية وبالتالي سيكون على شكل خط مستقيم . وهذا موضح بالشكل (٢-٨) .

٤) نلاحظ من المعادلة (٣-٨) أن سرعة الارشاح تتناسب طرداً مع تدرج الضغط ، لذلك ستكون علاقة سرعة الارشاح مع المسافة شبيهة بعلاقة تدرج الضغط معها ، وبالتالي يمكن تمثيل هذه العلاقة بالشكل (١-٨) ، المنحني (٢) وتفسر زيادة سرعة الارشاح على امتداد الطبقة الغازية بتمدد الغاز لدى الخفاض الضغط .

٥) بمقارنة المعادلات الحصول عليها من أجل جريان الغاز الأحادي المتسطم مع المعادلات نفسها لجريان السائل غير القابل للانضغاط ذات السطح الحر ، نجد أنها متشابهة ، وبالتالي يمكن القول إن المعادلات التقاضية للحركة بالنسبة للحالتين متشابهة .

#### ٤-٤-٨- الجريان الدائري الشعاعي المستقر للغاز حسب قانون الارشاح الخططي:

لنفرض أن لدينا طبقة مقطوعها الأفقي دائري ، نصف قطره  $R$  ، ينترتها بئر تام هيدروديناميكيًّا ، نصف قطره  $R$  كما في الشكل (٤-١) ، تحتوي غازًا مثالياً يتم جريانه دائريًّا شعاعياً مستقراً حسب قانون الارشاح الخططي . يمكن الحصول على خصائص هذا الجريان بمعرفة خصائص الجريان المتشابه له للسائل غير القابل للانضغاط .

يكتب قانون الجريان بعد إدخال عامل كثافة الغاز كما يلي :

$$\rho \cdot v = - \frac{k}{\mu} \rho \cdot \frac{dP}{dr} \quad (٤-٨)$$

نعرض المعادلة (٤-٨) في المعادلة (٤-٨) ثم نأخذ المعادلة (٤-٥) بعين الاعتبار فنجد :

$$P dP = \frac{Q_m \cdot \mu \cdot P_{at}}{2 \pi b k p_{at}} \frac{dr}{r} \quad (16-8)$$

نكمال المعادلة عند الحدود  $[r \rightarrow R_k]$  ،  $[P \rightarrow P_k]$  فنحصل على :

$$P = \sqrt{P_k^2 - \frac{Q_m \cdot \mu \cdot P_{at}}{2 \pi b k p_{at}} \ln \frac{R_k}{R_c}} \quad (17-8)$$

نكمال المعادلة (16-8) عند الحدود  $[P_c \rightarrow P_k]$  ،  $[R_c \rightarrow R_k]$  من أجل

الحصول على الكمية المصروفة عند الضغط الجوي  $Q_{at}$  مع الأخذ بعين الاعتبار :

$$: Q_{at} = \frac{Q_m}{P_{at}}$$

$$Q_{at} = \frac{\pi b k}{\mu P_{at}} \frac{P_k^2 - P_c^2}{\ln \frac{R_k}{R_c}} \quad (18-8)$$

نعرض المعادلة (18-8) في المعادلة (17-8) فنجد :

$$P = \sqrt{P_k^2 - \frac{P_k^2 - P_c^2}{\ln \frac{R_k}{R_c}} \ln \frac{R_k}{r}} \quad (19-8)$$

ولتعيين تدرج الضغط نقوم بتعويض المعادلة (18-8) في المعادلة (16-8)

فنحصل على :

$$\frac{dP}{dr} = \frac{P_k^2 - P_c^2}{2 \ln \frac{R_k}{R_c}} \frac{1}{r} \frac{1}{P} \quad (20-8)$$

نعرض قيمة تدرج الضغط من المعادلة (20-8) في المعادلة (15-8) مع

اختصار كثافة الغاز  $\rho$  من الطرفين فنحصل على قيمة سرعة ارشاح الغاز :

$$\nu = \frac{\frac{K P_k^2 - P_c^2}{\mu} \frac{1}{2 \ln \frac{R_k}{R_c}} \frac{1}{r} \frac{1}{P}}{\rho} \quad (21-8)$$

يتم تحديد الضغط الوسطي في الفراغات المسامية للطبقة من أجل الجريان الدائري

الشعاعي للغاز بالمعادلة (13-8) مع الأخذ بعين الاعتبار مايلي :

$$V_p = \pi m b (R_k^2 - R_c^2)$$

$$dV_p = 2\pi r b m dr$$

وبتعويض هذه القيم وقيمة الضغط المحددة بالمعادلة (١٩-٨) في المعادلة (١٣-٨) نحصل على المعادلة التالية :

$$\hat{P} = \frac{2 P_k}{P_k^2 - R_c^2} \int_{R_c}^{R_k} \sqrt{1 - \frac{1 - \left(\frac{P_c}{P_k}\right)^2}{\ln \frac{R_k}{R_c}} \ln \frac{R_k}{r}} dr \quad (22-8)$$

نعتبر أن :

$$x = \frac{1 - \left(\frac{P_c}{P_k}\right)^2}{\ln \frac{R_k}{R_c}} \ln \frac{R_k}{r} \quad (23-8)$$

وعندما  $R_c \leq r \leq R_k$  يكون  $1 - x \leq 0$  ويمكن كتابة الحد  $\sqrt{1 - x}$  عندما

$x < 1$  على النحو التالي :

$$\sqrt{1 - x} = (1 - x)^{1/2} = 1 - \frac{x}{2} - \frac{x^2}{8} - \frac{x^3}{16}, \dots \quad (24-8)$$

وبأخذ الحدين الأول والثاني فقط يمكننا كتابة مايلي :

$$\sqrt{1 - x} = 1 - \frac{1 - \left(\frac{P_c}{P_k}\right)^2}{2 \ln \frac{R_k}{R_c}} \ln \frac{R_k}{r} \quad (25-8)$$

وبتعويض هذه القيمة في المعادلة (٢٢-٨) وإجراء تكامل لها نحصل على معادلة

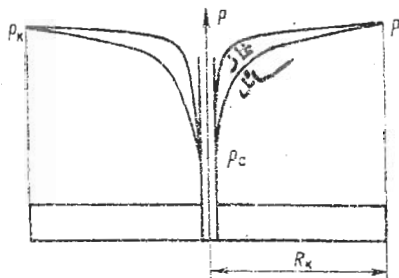
حساب الضغط الوسطي بشكل تقريري :

$$\hat{P} = P_k \left[ 1 - \frac{1 - \left(\frac{P_c}{P_k}\right)^2}{4 \ln \frac{R_k}{R_c}} \right] \quad (26-8)$$

ما سبق يمكن استنتاج مايلي :

١) مقارنة معادلة توزع الضغط (١٩-٨) للجريان الدائري الشعاعي المستقر

بالنسبة للغاز مع المعادلة نفسها بالنسبة للسائل غير القابل للانضغاط يلاحظ الانخفاض الضغط بشكل مفاجئ في المنطقة المجاورة للبئر وهذا الانخفاض سيكون أسرع منه بالنسبة للسائل غير القابل للانضغاط . أما في المناطق الأبعد فيكون الانخفاض أبطأ بكثير أو الشكل ( ٣-٨ ) يوضح هذه الخاصية .



شكل ( ٣-٨ ) توزيع الضغط في الجريان الدائري الشعاعي للسائل القابل للانضغاط والغاز ٢ من الوضوح في المعادلة ( ٢٠-٨ ) ، أن تدرج الضغط بالقرب من قباع البئر سيزداد بشكل مفاجئ وذلك نتيجة لانخفاض نصف القطر  $r$  والضغط  $P$  ، وهذا موضع بالشكل ( ١٤-٤ ) .

٣) يرسم الدليل البياني بالعلاقة  $f(P_k^2 - P_c^2) = Q_{st}$  ، حيث إن هذه العلاقة ستأخذ الشكل الخططي كما في الشكل ( ٢-٨ ) .

٤) إن علاقة سرعة الضغط مشابهة لعلاقة تدرج الضغط ، لذلك سنأخذ المنحني نفسه والتفسير نفسه كما في الشكل ( ١٤-٤ ) .

٥) عند حساب الضغط الوسطي بالمعادلة ( ٢٦-٨ ) من أجل قيم مختلفة لـ  $R_c$  ،  $P_c$  ،  $P_k$  ،  $R_k$  ، يمكن ملاحظة تقارب قيمة  $\bar{P}$  من قيمة  $P_k$  أي أن  $\bar{P} \approx P_k$  ويفسر هذا فيزيائياً بالانخفاض السريع للضغط عند جدران البئر فقط ، بينما يكون هذا الانخفاض في المناطق الأبعد صغيراً جداً وذلك عند جريان الغاز باتجاه البئر .

ويستخدم الضغط الوسطي في تحديد احتياطي الغاز في الطبقات وأنباء إجراء الحسابات

التربيبة للخصائص الميدروديناميكية ، حيث إن استعاضة الضغط الوسطي بضغط الكونتور يبسط هذه الحسابات .

### ٣-٨- الطرق التربيعية لدراسة الجريان الدائري الشعاعي غير المستقر للغاز:

يكون الضغط الطبقي للمكمن الغازي ثابتاً ومساوياً للضغط الطبقي الأولي  $P_1$  قبل فتح الطبقة ، حيث يمكن تصور المكمن الغازي خزان مغلق ولا توجد تغذية خارجية له ، لذلك فإن الضغط سيتحفظ لدى اختراق البئر للطبقة واستخراج الغاز منها على عكس الجريان المستقر للغاز ، وبالتالي يمكن القول إنه يحدث خود للمكمن الغازي .

إن هبوط الضغط نتيجة لاستخراج الغاز من الطبقة سيتوزع من البئر وحتى حدود المكمن ، كما هو الحال في الجريان الدائري غير المستقر للسائل القابل للانضغاط (انظر البند ٣-٦) . لقد قام الباحث ليينزون ( LEBENZON ) بوضع نظرية جريان الغاز في الوسط المسامي ، حيث كان قد حصل على المعادلات التفاضلية التي تحدد الضغط في الطبقة عند وجود حركة غير مستقرة للغاز الثنائي . وهناك طرق متعددة من أجل الحصول على الحلول التربيعية حول جريان الغاز سندذكر منها اثنين .

### ٣-٩- طريقة التبديل المتالي للمجالات المستقرة :

تعتمد هذه الطريقة كما ذكرنا سابقاً على الافتراضات التالية :

١) يوجد في كل لحظة مجال مضطرب نهائياً يتحرك فيه الغاز إلى البئر .

٢) إن الحركة داخل المجال مضطرب مستقرة .

٣) تحدد أبعاد المجال مضطرب باستخدام معادلة الموازنة المادية .

سندرس في هذه الفقرة الجريان غير المستقر للغاز إلى البئر عند ثبات إنتاجيته ،

و سنفترض أن نصف قطر البئر النهائي يساوي لـ  $R$  .

يعتبر المجال مضطرب في كل لحظة منطقية دائيرية ذات نصف قطر (  $\frac{1}{2} R$  ) ،

ويكون توزع الضغط فيها حسب القانون المستقر :